

آنالیز غیرخطی دو صفحه دایروی و حلقوی با اتصال فنر حلزونی خطی

محمد حسن نائی

استادیار گروه مهندسی مکانیک- دانشکده فنی- دانشگاه تهران

مرتضی محمدی

فارغ التحصیل کارشناسی ارشد مهندسی مکانیک - دانشکده فنی - دانشگاه تهران

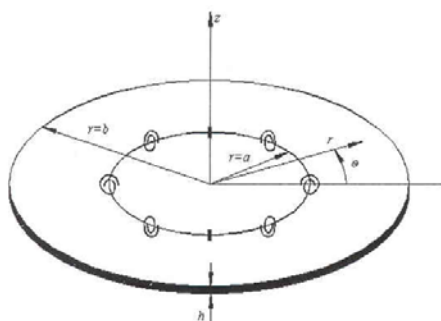
(تاریخ دریافت ۱۸/۹/۸۰، تاریخ تصویب ۲۴/۸/۸۲)

چکیده

در این مقاله آنالیز غیرخطی دو صفحه دایروی و حلقوی که توسط فنرهای پیچشی خطی به یکدیگر متصل شده‌اند و تحت بار یکنواخت نسبتاً بزرگ واقع شده‌اند مورد بررسی قرار گرفته است. با توجه به دلالت نیروهای غشائی، معادلات دیفرانسیل حاکم بر مسئله، به دو معادله دیفرانسیل غیرخطی کوپله می‌انجامد که به معادلات فون-کارمن^۱ معروف هستند. با بکارگیری پارامترهای مناسب، این جفت معادله به دوازده معادله دیفرانسیل غیرخطی مرتبه اول تبدیل می‌شوند. این معادلات با استفاده از روش پرتاب موازی^۲ و تصحیح نیوتون-رافسون و تعیین ژاکوبین مربوطه با روشنی نو حل شده‌اند. تغییر شکل‌ها و تشکیلات غشائی و خمی و ماکریتم آنها روی صفحات بررسی شده و نهایتاً تغییرات ماکریتم تنش خمی و غشائی بحسب تغییرات ضخامت صفحات، تغییرات نسبت شعاعهای صفحات، تغییرات بار وارد و تغییرات ضریب سختی فنر حلزونی آورده شده است. در انتها، با توجه به بکر بودن مسئله، به منظور اعتبار تحلیل انجام شده، حل این مسئله در حالت مخصوص با نتایج مسئله موجود در مرجع [۱۲] مقایسه شده است.

واژه‌های کلیدی : صفحات حلقوی، فنر حلزونی، آنالیز غیرخطی، پرتاب موازی

اند، بررسی شده است. در صنعت ممکن است سازه‌های مشابه این سیستم وجود داشته باشد که مثلاً لازم باشد دو قطعه با مقاومت‌های تنشی متفاوت توسط لاستیک (یا اتصالی که بتوان با فنرهای حلزونی مدل کرد) به یکدیگر جوش داده شوند. در این شرایط بررسی ممان ماکریتم تنش و تغییرات مقدار ماکریتم تنش بر حسب تغییرات پارامترهای مختلف برای پیش‌بینی مکان شکست و کنترل ماکریتم تنش که موجب شکست می‌شود، بسیار حائز اهمیت است. این چنین سازه‌هایی قابل مدل‌سازی توسط این مسئله هستند.



شکل ۱: اتصال صفحه دایروی و حلقوی با اتصال فنر حلزونی.

مقدمه

هر گاه تغییر مکان عرضی صفحه نازک بیشتر از ضخامت صفحه، در محدوده تغییر مکانهای نسبتاً بزرگ^۳ شود، بحث ریاضی مربوط به معادلات تعادل سیستم، علاوه بر تئوری کلاسیک خطی تغییر شکل صفحات، شامل تغییر شکل صفحه میانتار نیز می‌شود. این تغییر شکل علاوه بر وجود اثرات خمی، با فرض وجود اثرات غشائی بر روی مقاومت صفحه قابل توجیه است. بدین ترتیب پدیده غیر خطی بودن هندسی در معادلات تعادل حاکم بر صفحه ظاهر می‌شود. در نتیجه معادلات تعادل صفحه (استاتیکی یا دینامیکی) تبدیل به دو معادله کوپله غیرخطی می‌شود که تنها به روش‌های عددی قابل تحلیل است. در این زمینه مسائل متنوعه مورد بررسی قرار گرفته است. [۱-۱۰].

در این مقاله سازه‌ای متشکل از دو صفحه حلقوی و دایروی که توسط فنرهای حلزونی خطی مطابق شکل (۱) به یکدیگر متصل شده‌اند و تحت بار یکنواخت نسبتاً بزرگ و در نتیجه تحت تغییر مکانهای نسبتاً بزرگ قرار گرفته

شرایط مرزی

برای تکمیل فرمولاسیون مسئله، باید مجموعه‌ای از شرایط مرزی بیان شود. معادلاتی که برای تبدیل شرایط مرزی بر حسب X, φ استفاده می‌شوند، عبارتند از:

$$\begin{aligned} M_r &= -\frac{Dh}{b^2} \left(\frac{d^2 X}{d\xi^2} + \frac{\upsilon}{\xi} \frac{dX}{d\xi} \right) \\ V_r &= -\frac{Dh}{b^3} \frac{d}{d\xi} (\nabla^2 X) \\ N_r &= \frac{Eh^3}{(1-\upsilon^2)b^2} \frac{\varphi}{\xi} \\ u &= \frac{h^2 \xi}{b(1-\upsilon^2)} \left(\frac{d\varphi}{d\xi} - \upsilon \frac{\varphi}{\xi} \right) \end{aligned} \quad (6)$$

در سازه مورد بررسی، دو صفحه دایروی و حلقوی که شعاع داخلی صفحه حلقوی، برابر شعاع صفحه دایروی است، در مرز مشترک، توسط فنرهای الاستیک حلزونی گستردۀ $K(\frac{N-m}{m})$ به یکدیگر متصل شده‌اند. شرایط مرزی در شعاع خارجی گیردار است، بنابراین:

$$\xi = 1 : w = 0, \frac{dw}{dr} = 0, u = 0 \quad (7-a)$$

شرط مرزی در مرکز [۱۱]:

$$\xi = 0 : \psi = 0, \frac{dw}{dr} = 0, \frac{d^3 w}{dr^3} = 0 \quad (7-b)$$

شرط پیوستگی:

$$\begin{aligned} w_1(a) &= w_2(a) \\ u_1(a) &= u_2(a) \\ M_{r1} &= M_{r2} \end{aligned} \quad (7-c)$$

رابط ممانهای خمی با فتر پیچشی:

$$M_{r1} = K(\theta_1 - \theta_2) \quad (7-d)$$

دو شرط مرزی دیگر، از معادلات مربوط به تعادل نیروها در مرز مشترک حاصل می‌شود. همانطور که در بدست آوردن معادلات حاکم، برای نوشتن تعادل نیروها در راستای شعاعی از المانی در وضعیت تغییر شکل نیافته

تئوری تغییر مکانهای عرضی نسبتاً بزرگ صفحات نازک^۴

فرمول‌بندی معادلات حاکم: [۱۱]

یک ورق مسطح حلقوی نازک به شعاعهای داخلی و خارجی a, b را در نظر بگیرید که مرکز مختصات استوانه‌ای بر صفحه میانتار منطبق است (r در راستای شعاع و θ در راستای محیط و z در راستای عمود بر سطح). با توجه به فرضیات کرشف، معادلات فون کارمن برای صفحه دایره شکل ایزوتروپیک، تحت بارگذاری یکنواخت متقارن محوری به صورت زیر نوشته می‌شود:

معادلات حاکم در مختصات قطبی:

$$\begin{cases} \frac{d^2 \psi}{dr^2} + \frac{1}{r} \frac{d\psi}{dr} - \frac{\psi}{r^2} = -\frac{Eh}{2r} \left(\frac{dw}{dr} \right)^2 \\ D \nabla^4 w - \frac{1}{r} \frac{d}{dr} \left(\psi \frac{dw}{dr} \right) = P \end{cases} \quad (1)$$

$$\begin{aligned} \nabla^4 &= \left[\frac{1}{r} \frac{d}{dr} \left(r \frac{d}{dr} \right) \right]^2, \quad D = \frac{Eh^3}{12(1-\upsilon^2)} \\ N_r &= \frac{\psi}{r}, \quad N_\theta = \frac{d\psi}{dr} \end{aligned} \quad \text{تابع تنش:} \quad (2)$$

$$\sigma_r = \frac{N_r}{h} + \frac{12M_r}{h^3} z, \quad \sigma_\theta = \frac{N_\theta}{h} + \frac{12M_\theta}{h^3} z \quad (3)$$

بی بعد سازی معادلات حاکم برای بی بعد کردن معادلات حاکم پارامترهای زیر تعریف می‌شوند:

$$\begin{aligned} X &= w/h, \quad \xi = r/b, \quad U = u/h \\ \bar{P} &= \frac{12(1-\upsilon^2)}{E} \left(\frac{b}{h} \right)^4 P \\ \varphi &= \frac{1-\upsilon^2}{Eh^3} \psi \end{aligned} \quad (4)$$

$$\begin{cases} \frac{d^2 \varphi}{d\xi^2} + \frac{1}{\xi} \frac{d\varphi}{d\xi} - \frac{\varphi}{\xi^2} = -\frac{1-\upsilon^2}{2\xi} \left(\frac{dX}{d\xi} \right)^2 \\ \nabla^4 X - \frac{12}{\xi} \frac{d}{d\xi} \left(\varphi \frac{dX}{d\xi} \right) = \bar{P} \end{cases} \quad (5)$$

سپس توسط روش رانگ - کوتا همچون مسائل مقادیر اولیه، معادلات مربوط به این دو صفحه تا مرز مشترک حل می‌شود. آنگاه بردار خطا در مرز مشترک محاسبه شده و به روش نیوتن- رافسون مقادیر پیش فرض تصحیح می‌شوند.

بیان معادلات به صورت دستگاه معادلات مرتبه اول
دستگاههای معادلات حاکم بر این دو صفحه می‌تواند به صورت دستگاههای معادلات مرتبه اول نوشته شود. به همین منظور متغیرهای زیر را تعریف می‌کنیم:
صفحه دایروی:

$$\begin{aligned}\bar{\zeta}(\xi) &= \left\{ X_1, \frac{dX_1}{d\xi}, \frac{d^2X_1}{d\xi^2}, \frac{d^3X_1}{d\xi^3}, \varphi_1, \frac{d\varphi_1}{d\xi} \right\}^T \\ &= \{\zeta_1, \zeta_2, \zeta_3, \zeta_4, \zeta_5, \zeta_6\}^T\end{aligned}\quad (\text{A-a})$$

توجه به معادلات بی بعد حاکم، معادلات حاکم به صورت زیر نوشته می‌شود:

$$\begin{aligned}\frac{d\bar{\zeta}}{d\xi} &= \left\{ \zeta_2, \zeta_3, \zeta_4, \bar{P} + 12 \frac{1}{\xi} \frac{d}{d\xi} (\zeta_5 \zeta_2) - \left(\frac{2}{\xi} \zeta_4 \right. \right. \\ &\quad \left. \left. - \frac{1}{\xi^2} \zeta_3 + \frac{1}{\xi^3} \zeta_2 \right), \zeta_6, -\frac{1}{\xi} \zeta_6 + \frac{1}{\xi^2} \zeta_5 - \frac{1-v_1^2}{2\xi} (\zeta_2)^2 \right\}^T\end{aligned}\quad (\text{A-b})$$

صفحه حلقوی

$$\begin{aligned}\bar{\eta}(\xi) &= \left\{ X_2, \frac{dX_2}{d\xi}, \frac{d^2X_2}{d\xi^2}, \frac{d^3X_2}{d\xi^3}, \varphi_2, \frac{d\varphi_2}{d\xi} \right\}^T \\ &= \{\eta_1, \eta_2, \eta_3, \eta_4, \eta_5, \eta_6\}^T\end{aligned}\quad (\text{A-c})$$

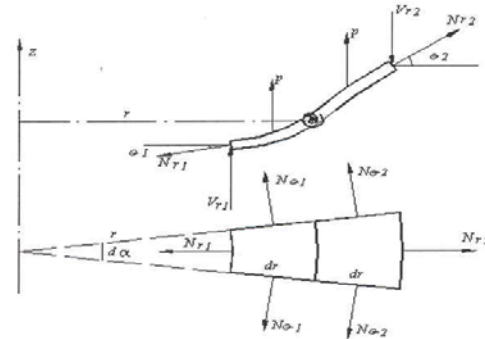
$$\begin{aligned}\frac{d\bar{\eta}}{d\xi} &= \left\{ \eta_2, \eta_3, \eta_4, \bar{P} + 12 \frac{1}{\xi} \frac{d}{d\xi} (\eta_5 \eta_2) - \left(\frac{2}{\xi} \eta_4 \right. \right. \\ &\quad \left. \left. - \frac{1}{\xi^2} \eta_3 + \frac{1}{\xi^3} \eta_2 \right), \eta_6, -\frac{1}{\xi} \eta_6 + \frac{1}{\xi^2} \eta_5 - \frac{1-v_2^2}{2\xi} (\eta_2)^2 \right\}^T\end{aligned}\quad (\text{A-d})$$

با توجه به روابط (۴) و (۶)، شرایط مرزی (۷) بر حسب متغیرهای جدید به این صورت نوشته می‌شود:

استفاده شده است در اینجا نیز از المان تغییر شکل نیافته استفاده می‌شود:

$$\begin{aligned}N_{r1} r d\alpha + 2(N_{\theta 1} + N_{\theta 2}) d\alpha \frac{dr}{2} = \\ N_{r2}(r+dr) d\alpha \Rightarrow N_{r1} = N_{r2}\end{aligned}\quad (\text{7-e})$$

برای نوشتمن روابط تعادل در راستای عمودی مطابق شکل (۲) از المان تغییر شکل یافته استفاده می‌شود:

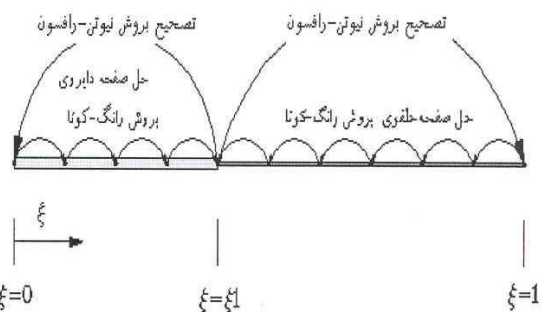


شکل ۲: المان تغییر شکل یافته صفحه.

$$\begin{aligned}(V_{r1} - N_{r1} \sin\theta_1) r d\alpha = \\ (V_{r2} - N_{r2} \sin\theta_2)(r+dr) d\alpha + -pd\alpha \times rd\alpha \Rightarrow \\ V_{r1} - N_{r1} \sin\theta_1 = V_{r2} - N_{r2} \sin\theta_2 \\ (\theta_1 = dw_1/dr, \theta_2 = dw_2/dr)\end{aligned}\quad (\text{7-f})$$

حل معادلات به روش پرتاب موازی

در حل معادلات این سازه مطابق دیاگرام شکل (۳)، به روش پرتاب موازی باید سه مقدار پیش فرض برای صفحه حلقوی در شعاع خارجی و سه مقدار پیش فرض برای صفحه دایروی در مرکز گرفته شود.



شکل ۳: دیاگرام روش پرتاب موازی.

$$\begin{aligned}
 d_1 &= \zeta_1 - \eta_1 \\
 d_2 &= \frac{1}{1-v_1^2} (\zeta_6 - \frac{v_1}{\xi_1} \zeta_5) - \frac{1}{1-v_2^2} (\eta_6 - \frac{v_2}{\xi_1} \eta_5) \\
 d_3 &= D_1 (\zeta_3 + \frac{v_1}{\xi_1} \zeta_2) - D_2 (\eta_3 + \frac{v_2}{\xi_1} \eta_2) \\
 d_4 &= \frac{D_1}{b} (\zeta_3 + \frac{v_1}{\xi_1} \zeta_2) + K (\zeta_2 - \eta_2) \\
 d_5 &= \frac{D_1}{b^2} (\zeta_4 + \frac{1}{\xi_1} \zeta_3 - \frac{1}{\xi_1^2} \zeta_2) - \frac{E_1 h_1}{1-v_1^2} \frac{\zeta_5}{\xi_1} \sin(\zeta_2) \\
 &\quad - \left(\frac{D_2}{b^2} (\eta_4 + \frac{1}{\xi_1} \eta_3 - \frac{1}{\xi_1^2} \eta_2) - \frac{E_2 h_2}{1-v_2^2} \frac{\eta_5}{\xi_1} \sin(\eta_2) \right) \\
 d_6 &= \frac{E_1 h_1}{1-v_1^2} \frac{\zeta_5}{\xi_1} \cos(\zeta_2) - \frac{E_2 h_2}{1-v_2^2} \frac{\eta_5}{\xi_1} \cos(\eta_2) \\
 \vec{D} &= \{d_1, d_2, d_3, d_4, d_5, d_6\}^T
 \end{aligned} \tag{۱۴}$$

تعیین مقادیر پیش‌فرض

برای تعیین پیش‌فرض، از بارهای کم شروع کرده و با پیش‌فرض $\vec{U} = 0$ مسئله را حل می‌کنیم. سپس از جوابهای به دست آمده برای حل در بار بالاتر استفاده می‌کنیم. هر بار جوابهای مربوط به یک بارگذاری خاص را به دست آورده و از مقادیر مربوط به آن به عنوان پیش‌فرض بارگذاری بعدی استفاده می‌کنیم.

محاسبات عددی و نتیجه‌گیری

در تحلیل سازه مورد بررسی باید وضعیت خیز و تنشها و تغییرات آن روی صفحه و مکان ماکریزم تنشها مشخص شود. شکل (۴) خیز ناشی از بارگذاریهای بزرگ را روی دو صفحه به ازای نسبتهای متفاوت h_2/h_1 نشان می‌دهد. هر چه نسبت h_2/h_1 بیشتر می‌شود، خیز ماکریزم کمتر می‌شود و بعلاوه زاویه شکست در مرز مشترک دو صفحه کمتر می‌شود. شکل (۵) تنش خمشی شعاعی را که مهمترین تنش در بحث تغییر شکل صفحات است و بیشترین مقدار را به خود اختصاص می‌دهد، نشان می‌دهد. این تنش در مرز خارجی صفحه حلقوی بیشترین مقدار را دارد. چون بیشترین تغییرات شیب در آن نقطه رخ می‌دهد، در مرز مشترک داریم، ($S_{rb1} = S_{rb2}$) این مطلب خاصیت فرهای حلقه‌زنی است که گشتاور را در جهت عمود بر صفحه خود انتقال می‌دهد. ولی شیب ممان

$$\begin{aligned}
 \xi &= 0 : \quad \zeta_2 = 0, \zeta_4 = 0, \zeta_5 = 0 \\
 \xi &= 1 : \quad \eta_1 = 0, \eta_2 = 0, \eta_6 - v_2 \eta_5 = 0 \\
 \xi &= \xi_1 = \frac{a}{b} : \\
 \zeta_1 - \eta_1 &= 0 \\
 \frac{1}{1-v_1^2} (\zeta_6 - \frac{v_1}{\xi_1} \zeta_5) - \frac{1}{1-v_2^2} (\eta_6 - \frac{v_2}{\xi_1} \eta_5) &= 0 \\
 D_1 (\zeta_3 + \frac{v_1}{\xi_1} \zeta_2) - D_2 (\eta_3 + \frac{v_2}{\xi_1} \eta_2) &= 0 \\
 \frac{D_1}{b} (\zeta_3 + \frac{v_1}{\xi_1} \zeta_2) + K (\zeta_2 - \eta_2) &= 0 \\
 \frac{D_1}{b^2} (\zeta_4 + \frac{1}{\xi_1} \zeta_3 - \frac{1}{\xi_1^2} \zeta_2) - \frac{E_1 h_1}{1-v_1^2} \frac{\zeta_5}{\xi_1} \sin(\zeta_2) \\
 &\quad - \left(\frac{D_2}{b^2} (\eta_4 + \frac{1}{\xi_1} \eta_3 - \frac{1}{\xi_1^2} \eta_2) - \frac{E_2 h_2}{1-v_2^2} \frac{\eta_5}{\xi_1} \sin(\eta_2) \right) = 0 \\
 \frac{E_1 h_1}{1-v_1^2} \frac{\zeta_5}{\xi_1} \cos(\zeta_2) - \frac{E_2 h_2}{1-v_2^2} \frac{\eta_5}{\xi_1} \cos(\eta_2) &= 0
 \end{aligned} \tag{۹}$$

بردار مقادیر پیش‌فرض و بردار خطأ

مقادیر پیش‌فرض زیر را تعریف می‌کنیم:

$$\begin{aligned}
 u_1 &= \zeta_1(0) & u_2 &= \zeta_3(0) & u_3 &= \zeta_6(0) \\
 u_4 &= \eta_3(1) & u_5 &= \eta_4(1) & u_6 &= \eta_5(1)
 \end{aligned} \tag{۱۰}$$

با توجه به شرایط مرزی (۹) و مقادیر پیش‌فرض، مقادیر اولیه در مرکز صفحه دایروی و در شعاع خارجی صفحه حلقوی به صورت زیر خواهد بود:

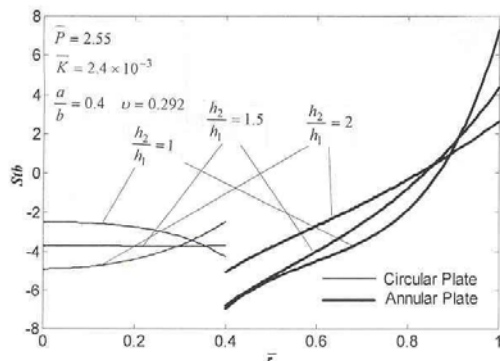
$$\vec{\zeta}(0) = \{u_1, 0, u_2, 0, 0, u_3\}^T \tag{۱۱}$$

$$\vec{\eta}(1) = \left\{ 0, 0, u_4, u_5, u_6, \frac{b}{v_2} u_6 \right\}^T \tag{۱۲}$$

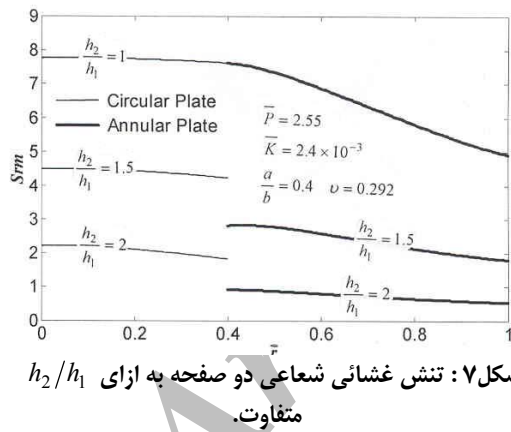
$$\vec{U} = \{u_1, u_2, u_3, u_4, u_5, u_6\}^T \tag{۱۳}$$

با توجه به معادلات (۹)، بردار خطأ در مرز مشترک به این صورت محاسبه می‌شود:

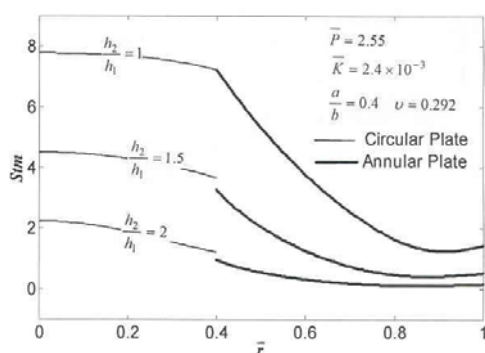
در رابطه (۷-۶) آمده است. هرگاه ضخامتهاي دو صفحه با هم برابر باشند، شباهای نيروهای غشائی شعاعی در مرز مشترک روی دو صفحه برابر می‌شوند و در غير اين صورت در محل اتصال شکست خواهيم داشت . از شکل (۸) تنش غشائي محظي ماكزييم در مرکز صفحه دايروي رخ مي‌دهد. اندازه اين تنش در مقاييسه با سه تنش قبلی کمتر است. مقدار ماکزييم آن در مرکز برابر است با [۱۱] :

$$S_{tm}(0) = S_{rm}(0)$$


شکل ۶: تنش خمشی محظی دو صفحه به ازای h_2/h_1 متفاوت.

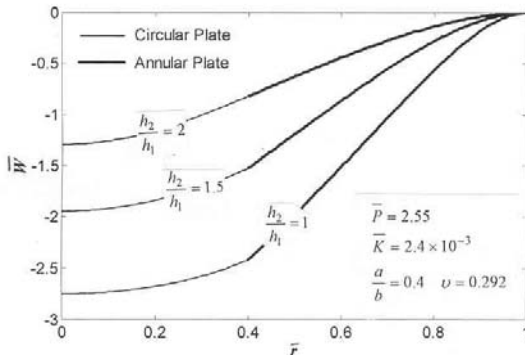


شکل ۷: تنش غشائي شعاعی دو صفحه به ازای h_2/h_1 متفاوت.

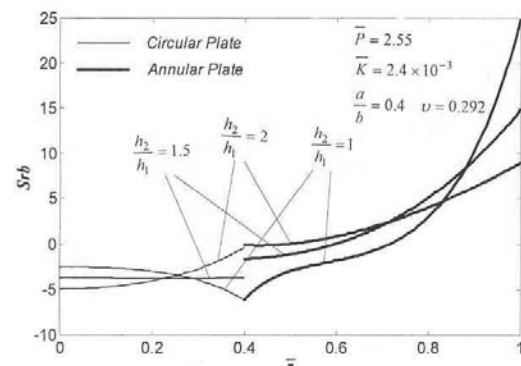


شکل ۸: تنش غشائي محظی دو صفحه به ازای h_2/h_1 متفاوت.

خمشی دو صفحه در مرز مشترک یکی نیست، چون تغييرات ممان خمشی روی دو صفحه یکی نیست. بعلاوه گستگی مربوط به نمودارهای $h_2/h_1 = 1.5$ و $h_2/h_1 = 2$ ، به دليل متفاوت بودن ضخامتها است که از فرمول (۳) قابل درک است. شکل (۶) نشان می‌دهد که تنش خمشی محظی بيشترین مقدار خود را در مرز خارجي صفحه حلقوی می‌گيرد و بعلاوه تنشهای خمشی محظی در مرز مشترک با هم برابر نیستند. چون فنرهای حلزونی ممان خمشی در صفحه خودشان را منتقل نمی‌کنند و اندازه ممان خمشی محظی، روی هر صفحه به تغييرات شبی همان صفحه مربوط می‌شود و چون شباهای دو صفحه در محل اتصال یکی نیستند، تنشهای خمشی محظی دو صفحه در محل اتصال مساوی نیستند.



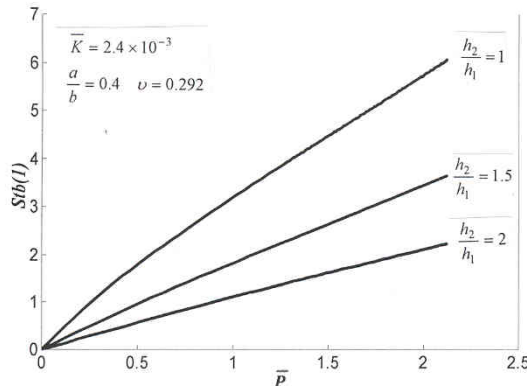
شکل ۴: خیز دو صفحه به ازای نسبت ضخامتهاي متفاوت.



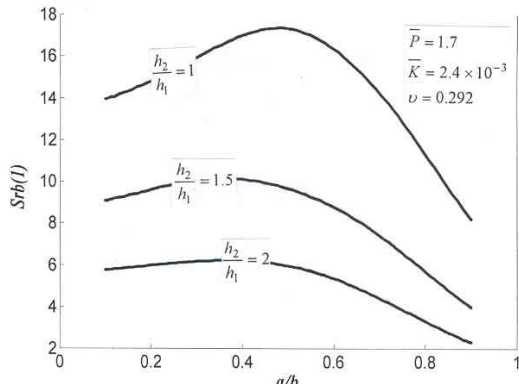
شکل ۵: تنش خمشی شعاعی دو صفحه به ازای h_2/h_1 متفاوت.

شکل (۷) تنشهای غشائي شعاعی را نشان می‌دهد. تنش غشائي شعاعی ماکزييم، در مرکز صفحه دايروي رخ مي‌دهد. به ازای $h_2/h_1 = h_1 = h_2$ ، در مرز مشترک تنشهای غشائي شعاعی دو صفحه با هم برابر هستند که دليل اين مطلب

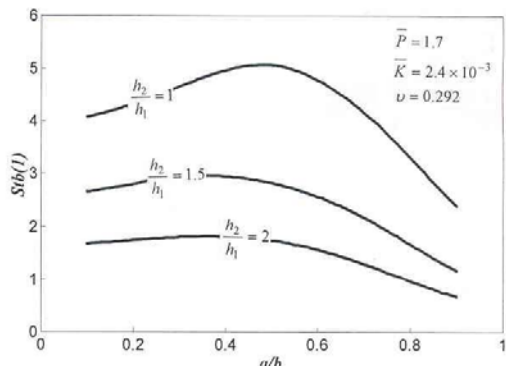
حسب تغییرات a/b در h_2/h_1 های مختلف نشان می‌دهند. با توجه به این شکلها در $a/b \approx 0.4$ ، $a/b \approx 0.4$ ، ماکزیمم تنشهای خمثی شعاعی و محیطی و همینطور ماکزیمم تنشهای غشائی تمام مقادیر h_2/h_1 ، بیشترین مقدار خود را می‌گیرند.



شکل ۱۱: تغییرات تنش خمثی محیطی در شعاع بیرونی صفحه حلقوی.

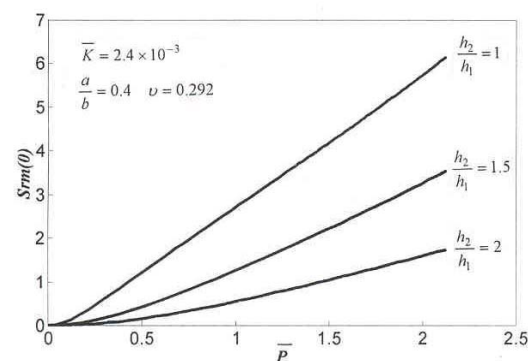


شکل ۱۲: تغییرات تنش خمثی شعاعی در شعاع بیرونی صفحه حلقوی.

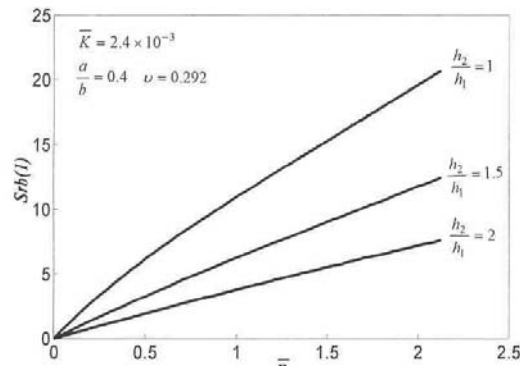


شکل ۱۳: تغییرات تنش خمثی شعاعی در شعاع بیرونی صفحه حلقوی.

شکلهای (۹) تا (۱۷) تغییرات مقادیر ماکزیمم تنشهای خمثی شعاعی و محیطی و تنش غشائی شعاعی را بر حسب تغییرات پارامترهای مختلف نشان می‌دهند. شکلهای (۹)، (۱۰) و (۱۱) تغییرات تنش خمثی شعاعی، تنش خمثی محیطی و تنش غشائی شعاعی را بر حسب تغییرات P در h_2/h_1 های مختلف نشان می‌دهند. با توجه به تغییر شب منحنی نمودارهای نشان داده شده، با افزایش بار وارد، ماکزیمم تنش شعاعی نسبت به تنشهای خمثی به تدریج افزایش می‌یابد؛ که نشان می‌دهد با افزایش بار اثرات نسبی تنش غشائی بیشتر می‌شود. با ازدیاد h_2/h_1 هر سه مؤلفه تنش کم می‌شوند که نسبت تغییرات برای هر سه مؤلفه تقریباً برابر است. ولی هر چه h_2/h_1 بیشتر می‌شود، تغییرات تنش بر حسب تغییرات h_2/h_1 کمتر می‌شود.

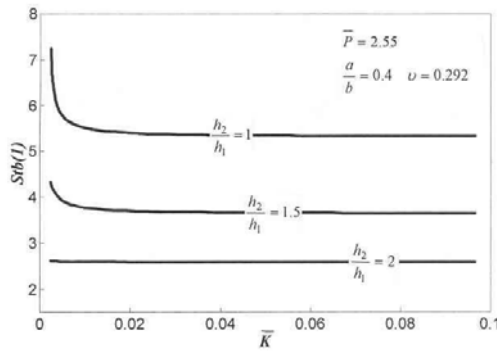


شکل ۹: تغییرات تنش غشائی شعاعی در مرکز صفحه دایروی.

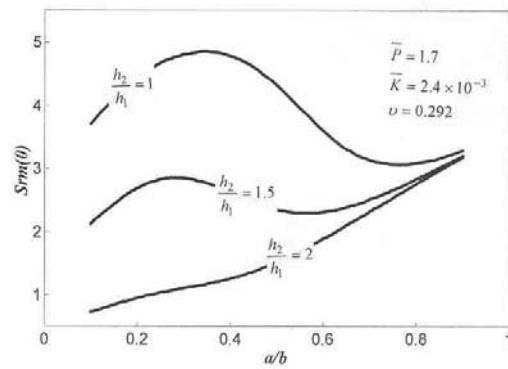


شکل ۱۰: تغییرات تنش خمثی شعاعی در شعاع بیرونی صفحه حلقوی.

شکلهای (۱۲) و (۱۳) و (۱۴) تغییرات تنش خمثی شعاعی، تنش خمثی محیطی و تنش غشائی شعاعی را بر



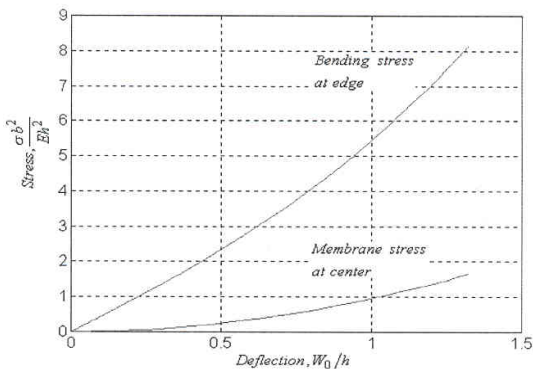
شکل ۱۷: تغییرات تنش خمشی محیطی شعاع بیرونی صفحه حلقوی.



شکل ۱۴: تغییرات تنش غشائی شعاعی در مرکز صفحه دایروی.

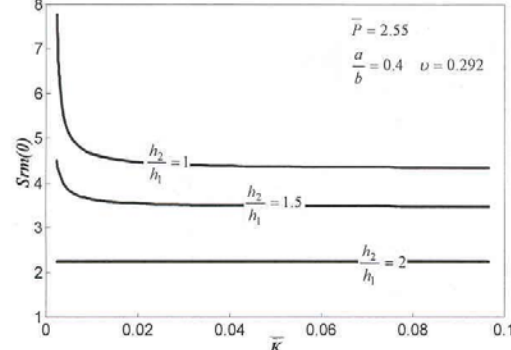
اعتبار تحلیل

چون این مسئله با این شرایط مرزی تاکنون تحلیل نشده است، معیاری برای بررسی درستی تحلیل وجود ندارد. با توجه به هندسه سازه و شرایط مرزی، هرگاه در این سازه $k \rightarrow \infty$ میل کند و ضخامت و بارگذاری روی دو صفحه با هم برابر باشند، این سازه متناظر یک صفحه دایروی ساده با شرایط مرزی گیردار خواهد بود که ضخامت آن برابر ضخامت صفحات و شدت بارگذاری روی آن برابر شدت بارگذاری روی دو صفحه می‌باشد. این سازه تحت این شرایط خاص با معادلات و شرایط مرزی استخراج شده در این مقاله حل شده است که نتایج حاصله در شکل (۱۸) مشاهده می‌شود. مقایسه این نمودارها با نتایج حاصل از تحلیل یک صفحه تحت شرایط مرزی گیردار از مرجع [۱۲]، درستی تحلیل انجام شده در این مقاله را تصدیق می‌کند.

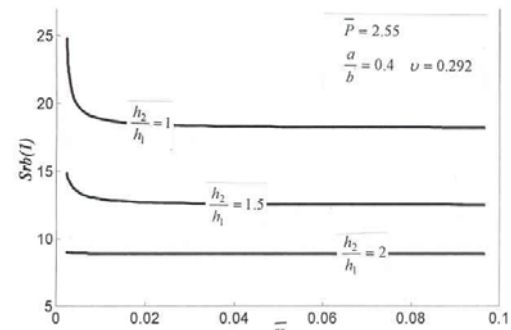


شکل ۱۸: تغییرات تنش خمشی شعاعی در لبه بیرونی صفحه حلقوی و تنش غشائی در مرکز صفحه دایروی بر حسب تغییرات خیز مرکز صفحه دایروی در $k \rightarrow \infty$ که قابل مقایسه با یک صفحه دایروی تحت شرایط مرزی گیردار و بارگذاری ثابت است. ($\nu = 0.3$).

شکل‌های (۱۵) ، (۱۶) و (۱۷) نشان می‌دهند که با زیاد شدن k ، مؤلفه‌های تنش و همینطور تاثیر تغییرات k بر مؤلفه‌های تنش کم می‌شوند. البته هر چه نسبت k / h_2 بیشتر شود، تغییرات تنشها بر حسب تغییرات k کمتر می‌شود. بعلاوه هر چه h_2/h_1 بیشتر می‌شود، اثرات تغییرات h_2/h_1 روی این سه مؤلفه تنش کمتر می‌شود. افت نسبی تنش غشائی شعاعی ، نسبت به تنش خمشی شعاعی بیشتر است.



شکل ۱۵: تغییرات تنش غشائی شعاعی در مرکز صفحه دایروی.



شکل ۱۶: تغییرات تنش خمشی شعاعی شعاع بیرونی صفحه حلقوی.

فهرست علائم	
$\bar{W} = w/h_1$	مؤلفه بی بعد خیز برای هر دو صفحه
$X_1 = w_1/h_1$	مؤلفه بی بعد خیز صفحه دایروی
$X_2 = w_2/h_2$	مؤلفه بی بعد خیز صفحه حلقوی
$S_{rb} = \frac{\sigma_{rb} b^2}{Eh_1^2}$	مؤلفه بی بعد تنش خمشی شعاعی
$S_{rb} = \frac{\sigma_{\theta b} b^2}{Eh_1^2}$	مؤلفه بی بعد تنش خمشی محیطی
$S_{rm} = \frac{\sigma_{rm} b^2}{Eh_1^2}$	مؤلفه بی بعد تنش غشائی شعاعی
$S_{tm} = \frac{\sigma_{\theta m} b^2}{Eh_1^2}$	مؤلفه بی بعد تنش غشائی شعاعی
$\bar{K} = \frac{K}{Eh_1^2}$	مؤلفه بی بعد ضریب سختی فنر حلزونی
$\bar{P} = \frac{12(1-\nu^2)}{E} \left(\frac{b}{h} \right)^q$	مؤلفه بی بعد فشار
w, u	مؤلفه تغییر مکان شعاعی و عرضی
r, θ, z	مختصات استوانه‌ای
N_0, N_r	نیروی غشائی شعاعی و محیطی بر واحد طول
$\bar{\zeta}$	
$\vec{\eta}$	
\vec{U}	
\bar{D}	
Ψ	تابع تنش
$\sigma_{\theta b}, \sigma_{rb}$	تنشهای خمشی شعاعی و محیطی
$\sigma_{\theta m}, \sigma_{rm}$	تنشهای غشائی شعاعی و محیطی
P	شدت بار وارد
a	شعاع صفحه دایروی و شعاع داخلی صفحه حلقوی
b	شعاع خارجی صفحه حلقوی
$D = \frac{Eh^3}{12(1-\nu^2)}$	صلیب خمشی
h_2, h_1	ضخامت صفحات دایروی و حلقوی
K	ضریب سختی فنر حلزونی
ϵ_0, ϵ_r	کرنشهای شعاعی و محیطی
ν, E	مدول الاستیسیته و ضریب پواسون
M_0, M_r	ممان خمشی شعاعی و محیطی بر واحد طول
$\xi = r/b$	مؤلفه بی بعد شعاع

مراجع

- 1 - Pal, M. C. (1969). "Large deflection of heated circular plates." *Acta Mechanica*, Vol. 8, No. 99, PP.82-103.
- 2 - Lorens, R. S. and Koeing, H. A. (1972). "An asymptotic solution for the large deflection of a circulat plate with central hole." *International Journal of Nonlinear Mechanics*, Vol. 7, PP. 337-343.
- 3 - B.Keller, H. and Reiss, E. S. (1958). "Iterative solution for the nonlinear bending of circular plates." *Communication on Pure and Applied Mathematics*, Vol. XI, PP. 273-293.
- 4 - Turvey, G. J. and Salehi, M. (1988). "Large deflection analysis of eccentrically stiffend sector plates." *Computer and Structures*, Vol. 6, PP. 191-205.
- 5 - Ye, J. Q. (1991). "Large deflection analysis of axisymmetric circular plates with variable thickness by BEM." *Applied Mathematical Modelling*, Vol. 15, No. 6, PP. 325-328.
- 6 - Ye, J. Q. (1992). "Axisymmetric large deflection analysis of annular plates and shells using BEM and FDM." *Engineering Analysis with Boundary Elements*, Vol. 9, No. 4, PP. 283-287.
- 7 - Rammachandran, J. (1989). "Analysis of circular plates on elastic foundation using cubic splines." *31st ISTAM Congress*.
- 8 - Rajeeva Gaur. and Vaidaya, P. M. (1996). *A convex optimization approach for moderately large deflection problem in circular plates*. University of Illinois at Urbana – Champaign.

- 9 - Gorji, M., Abuyan, J. A., and Li, K. S. Y. (1991). "Analysis of thick circular plates undergoing large deflections." *Journal of Aerospace Engineering, ASCE*.
- 10 - Gorji, M. and Akileh, A. (1988). "Large deflection of circular plates with or without hole at center." *Journal of Engineering Mechanics Division, ASCE*, Vol. 114, PP.1803.
- 11 - Sandman, B. (1970). *Harmonic Oscillation of circular and annular plates at finite amplitudes*. Dissertation of M.S. Kansan State University.
- 12 - Timoshenko, S. P. and Woinowsky. Kreiger, S. (1959). *Theory of plates and shells*. McGraw-Hill Kogakusha, Ltd.

واژه های انگلیسی به ترتیب استفاده در متن

- 1 - Von-Karman
- 2 - Parallel Shooting Method
- 3 - Moderately Large Deflection
- 4 - Moderately Large Deflection